

LiNi_{0.05}Mn_{1.95}O₄ 的合成及对 Li⁺的离子交换动力学

董殿权* 刘维娜 刘亦凡

(青岛科技大学化工学院, 青岛 266042)

摘要: 用溶胶-凝胶法合成出尖晶石结构的 LiNi_{0.05}Mn_{1.95}O₄, 用 0.5 mol·L⁻¹ 过硫酸铵对其进行改型, 制得锂离子筛 LiNiMn-H。LiNiMn-H 对 Li⁺的饱和交换容量达 5.2 mmol·g⁻¹。用缩核模型 (Shrinking-Core Model) 处理该离子交换的反应动力学数据得到 LiNiMn-H 吸附 Li⁺时离子交换反应的控制步骤是颗粒扩散控制(PDC), 同时得到了该实验条件下锂离子筛 LiNiMn-H 吸附 Li⁺的动力学方程和颗粒扩散系数 D_e。

关键词: LiNi_{0.05}Mn_{1.95}O₄; 锂; 离子筛; 动力学; 缩核模型

分类号: O611.4; O614.111

文献标识码: A

文章编号: 1001-4861(2009)07-1238-05

Synthesis of LiNi_{0.05}Mn_{1.95}O₄ and Its Ion-exchange Kinetics for Li⁺

DONG Dian-Quan* LIU Wei-Na LIU Yi-Fan

(School of Chemical Engineering, Qingdao University of Science & Technology, Qingdao, Shandong 266042)

Abstract: The spinel LiNi_{0.05}Mn_{1.95}O₄ was prepared by sol-gel method and the lithium ion-sieve LiNiMn-H was obtained by acid-modifying the available LiNi_{0.05}Mn_{1.95}O₄ by 0.5mol·L⁻¹(NH₄)₂S₂O₈. The results showed that the saturation capacity of LiNiMn-H for Li⁺ was 5.2 mmol·g⁻¹ ion-sieve. The kinetics controlled step of LiNiMn-H with Li⁺ was determined to be particle diffusion control (PDC) by using the shrinking-core model dealing with the dynamics dates of the ion exchange reaction. The different kinetics equations and diffusion coefficients D_e of LiNiMn-H for Li⁺ were obtained at the experimental conditions.

Key words: LiNi_{0.05}Mn_{1.95}O₄; lithium; ion-sieve; kinetics; shrinking-core model

尖晶石型锂锰氧化物(LiMn₂O₄), 因为其价格低廉、毒性小以及具有离子记忆性能等优点, 近年来引起国内外学者的广泛关注, 积极探索其在可充电电池、催化剂、以及从海水、盐湖卤水等低浓度液态锂资源中提取锂等领域的应用^[1-4]。其中, 在从低浓度液态锂资源中提取锂的实际应用中, LiMn₂O₄表现出吸附容量大、选择性高、吸附速度快等优势, 被认为是最有前途的提锂吸附剂。但是在工业化生产中仍存在亟待解决的问题, 最突出的就是酸浸过程中锰的溶出问题^[5], 因此如何保持锂锰氧化物的结构稳

定性是当前研究的热点, 在这方面已有许多研究者做了大量工作, 赵丽丽等用过硫酸铵替代盐酸作改型剂来抽取锂效果较好, 酸浸过程中锰的溶出率较小, 但是其原料 γ-MnO₂ 纳米材料制备工艺比较复杂^[6,7]。在锂离子电池领域, 目前最有希望的方法是在锂锰氧化物中掺杂其它金属离子(Li⁺、Ni²⁺、Mg²⁺、Al³⁺、Zn²⁺、Fe²⁺等)^[8-19], 且已取得相当进展, 但在提锂方面还未见相关报道。

本文以乙酸盐和柠檬酸为原料, 采用 sol-gel 法合成掺镍的锂锰氧化物 LiNi_{0.05}Mn_{1.95}O₄, 用过硫酸铵

收稿日期: 2009-01-12。收修改稿日期: 2009-04-28。

国家自然科学基金(No.29376245)、山东省中青年科学家科研奖励基金(博士基金, No.2008BS09004)和青岛科技大学科研启动基金(No.00022322)资助项目。

*通讯联系人。E-mail:dqdong@qust.edu.cn

第一作者: 董殿权, 男, 39岁, 博士, 副教授; 研究方向: 无机材料与分离工程。

对其进行酸改型, 制备出一种对 Li^+ 具有较高吸附选择性的无机离子交换剂, 将其用作锂离子筛, 测定了其离子交换性能, 并在离子交换动力学实验的基础上, 研究了该离子筛对 Li^+ 离子交换过程的机理、控制步骤, 建立了离子交换动力学方程。

1 实验部分

1.1 实验原料与仪器

乙酸锂、乙酸镍、乙酸锰、柠檬酸、过硫酸铵、硝酸、氨水等均为分析纯试剂, 蒸馏水。D/max- γ A型X射线衍射仪(日本理学公司, 测试条件为: 管压40 kV, 管电流100 mA, Cu $K\alpha$ 射线, 扫描范围10°~80°, 衍射波长 $\lambda=0.154\ 05\ \text{nm}$); Centrifuge5804型高速冷冻离心机, 德国Eppendorf公司; Nano-ZS90型激光粒度分析仪, 英国马尔文仪器有限公司; pH-3C型精密pH计, 上海雷磁仪器厂; DX-120型离子色谱仪, 美国戴安公司。

1.2 锂离子筛的制备

将一定浓度的乙酸锂、乙酸锰和乙酸镍溶液按照结构式 $\text{LiNi}_{0.05}\text{Mn}_{1.95}\text{O}_4$ 所示计量比混合, 在不断搅拌下加入氨水或硝酸溶液调节混合溶液的pH值约为5, 得淡蓝色澄清溶液, 加入螯合剂柠檬酸(柠檬酸的物质的量与阳离子的总物质的量相同)继续搅拌一段时间得半透明溶胶, 放入80 °C水浴中反应4 h得凝胶, 然后在120 °C干燥12 h, 得黄色干凝胶, 经研磨得离子交换剂前驱体。在空气条件下, 将前驱体在700 °C下加热8 h, 热处理制得 $\text{LiNi}_{0.05}\text{Mn}_{1.95}\text{O}_4$ 。对合成物质作X射线衍射分析确定其结构。

称取一定质量的 $\text{LiNi}_{0.05}\text{Mn}_{1.95}\text{O}_4$, 放入0.50 mol·L⁻¹的过硫酸铵溶液中, 90 °C振荡浸取1 h, 测定上清液中Mn浓度, 由浸取前、后Mn的浓度计算出Mn的溶出率, 考查 $\text{LiNi}_{0.05}\text{Mn}_{1.95}\text{O}_4$ 在过硫酸铵溶液中的稳定性。 $\text{LiNi}_{0.05}\text{Mn}_{1.95}\text{O}_4$ 经改型后用去离子水洗净、离心分离、80 °C干燥至恒重后即制得锂离子筛 LiNiMn-H 。

1.3 饱和交换容量

称取5份0.100 g LiNiMn-H , 分别置于pH≈8的50 mL、0.1 mol·L⁻¹的MCl-MOH(M=Li、Na、K、Rb、Cs)溶液中, 25 °C下振荡浸取7 d(一般5 d即达到饱和), 测定上清液中碱金属离子M⁺的浓度, 由交换前、后碱金属离子M⁺的浓度差计算出锂离子筛 LiNiMn-H 对碱金属的饱和交换容量^[20,21]。

1.4 pH滴定曲线

称取7份0.100 g LiNiMn-H , 分别放入10 mL、Cl⁻和OH⁻物质的量比不同(用不同比例的LiOH和LiCl溶液调节)、含Li⁺均为0.1 mol·L⁻¹的混合溶液, 在25 °C下震荡浸取7 d, 用pH计测定上清液的pH值。以pH值对试样中OH⁻的浓度作图, 即得25 °C时 LiNiMn-H 对Li⁺的pH滴定曲线^[22,23]。

同样可得25 °C时, LiNiMn-H 对Na⁺和K⁺的pH滴定曲线。

1.5 LiNiMn-H 的离子交换动力学

称取3份0.100 g LiNiMn-H , 分别置于50 mL、pH≈8的一定浓度(0.005, 0.025和0.050 mol·L⁻¹)的LiCl-LiOH溶液中, 在25 °C下间歇震荡浸取, 每隔一定时间取上清液测定锂的浓度。利用溶液中锂的浓度差求得交换量, 以离子筛 LiNiMn-H 对Li⁺的交换量对时间作图, 即得到离子交换动力学曲线^[23]。

2 结果与讨论

2.1 $\text{LiNi}_{0.05}\text{Mn}_{1.95}\text{O}_4$ 的合成与鉴定

700 °C热处理制得 $\text{LiNi}_{0.05}\text{Mn}_{1.95}\text{O}_4$ 的X射线衍射图见图1。

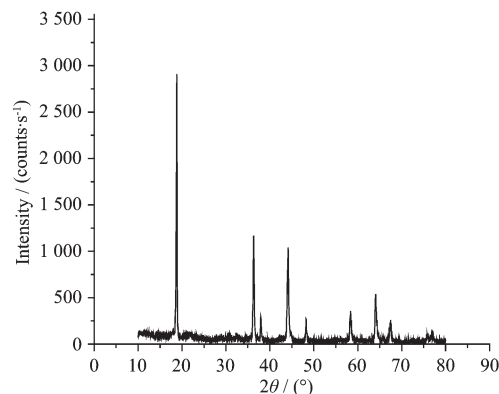
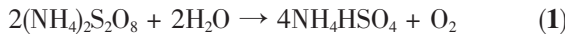


图1 $\text{LiNi}_{0.05}\text{Mn}_{1.95}\text{O}_4$ 的X-射线衍射图(700 °C)

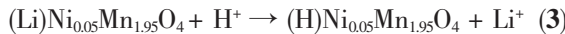
Fig.1 XRD pattern of $\text{LiNi}_{0.05}\text{Mn}_{1.95}\text{O}_4$ calcined at 700 °C

由图可知, 制得 $\text{LiNi}_{0.05}\text{Mn}_{1.95}\text{O}_4$ 的XRD图与尖晶石结构 LiMn_2O_4 的PDF标准谱图(No.89-0107)基本相同, 均为尖晶石型结构。用0.5 mol·L⁻¹过硫酸铵浸取时, Mn的溶出率较低, 仅为0.31%。 $\text{LiNi}_{0.05}\text{Mn}_{1.95}\text{O}_4$ 的锰溶出率低是因为在尖晶石结构的 LiMn_2O_4 中掺入半径较小的镍后, 镍取代了尖晶石16d位置的部分Mn³⁺, 造成尖晶石结构中半径较小的Mn⁴⁺含量上升, 从而使晶胞收缩, 金属与氧间的键长变短, 所以它们之间的作用力增加, 从而提高样品的稳定性能, 使Mn的溶出率降低^[24]。

在用过硫酸铵改型时, 过硫酸铵在水溶液中加热分解, 如方程式(1)和(2)所示^[6]。



方程式(2)中得到的 H^+ 起酸的作用, 与离子筛中的 Li^+ 发生离子交换反应, 如下式所示:



2.2 饱和交换容量

LiNiMn-H 对碱金属离子的饱和交换容量与离子半径的关系见图 2。

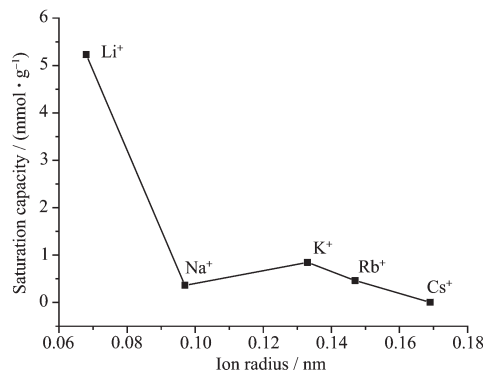


图 2 LiNiMn-H 对碱金属离子的饱和交换容量与离子半径的关系

Fig.2 Relations between ion radius and saturation capacity of LiNiMn-H for alkali ions

由图可知, LiNiMn-H 对 $0.1 \text{ mol} \cdot \text{L}^{-1}$ Li^+ 的饱和交换容量为 $5.2 \text{ mmol} \cdot \text{g}^{-1}$ ($36.09 \text{ mg} \cdot \text{g}^{-1}$), 这个数值和 $\text{LiNi}_{0.05}\text{Mn}_{1.95}\text{O}_4$ 的理论含锂量 ($5.52 \text{ mmol} \cdot \text{g}^{-1}$) 相近。 LiNiMn-H 对其他碱金属离子的饱和交换容量均小于 $1.0 \text{ mmol} \cdot \text{g}^{-1}$, 这说明 LiNiMn-H 对 Li^+ 有较高的饱和交换容量, 也证明镍的加入没有影响锂锰氧化物 LiMn_2O_4 对 Li^+ 的离子记忆性^[19]。

2.3 pH 值滴定曲线

25 °C 时, LiNiMn-H 对 $0.1 \text{ mol} \cdot \text{L}^{-1}$ Li^+ , Na^+ , K^+ 的 pH 滴定曲线见图 3。

由图可知, LiNiMn-H 对 Li^+ , Na^+ 和 K^+ 的 pH 滴定曲线都存在一个突跃, 而后趋于定值, 表明离子交换达到饱和。 Li^+ 的 pH 滴定曲线在 OH^- 浓度大约为 $5.0 \text{ mmol} \cdot \text{g}^{-1}$ 时达到定值, 这一结果与 Li^+ 的饱和交换容量 $36.09 \text{ mg} \cdot \text{g}^{-1}$ (即 $5.2 \text{ mmol} \cdot \text{g}^{-1}$) 的数值基本相同。 Na^+ 和 K^+ 的 pH 滴定曲线在 OH^- 浓度为 $0.5 \text{ mmol} \cdot \text{g}^{-1}$ 和 $1.0 \text{ mmol} \cdot \text{g}^{-1}$ 时达到定值, 这与钠的饱和交换容量 $0.36 \text{ mmol} \cdot \text{g}^{-1}$ 和 $0.85 \text{ mmol} \cdot \text{g}^{-1}$ 的数值相近。通过 pH 滴定曲线进一步说明 LiNiMn-H 对 Li^+ 有离子记忆性。

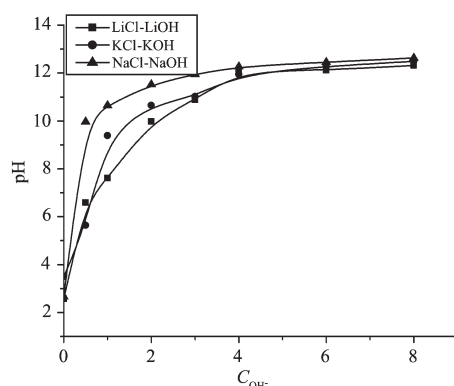


图 3 25 °C 时 LiNiMn-H 对 Li^+ , Na^+ , K^+ 的 pH 滴定曲线

Fig.3 pH titration curves of LiNiMn-H for Li^+ , Na^+ , K^+ at 25 °C

2.4 LiNiMn-H 对 Li^+ 的离子交换动力学

2.4.1 离子交换动力学曲线

LiNiMn-H 对 0.005 , 0.025 和 $0.05 \text{ mol} \cdot \text{L}^{-1}$ Li^+ 的离子交换动力学曲线见图 4。

由图 4 可知, 交换反应刚开始时, 由于反应的推动力即浓度差较大, 交换量增加很快, 随着时间增加, 浓度差逐渐减小, 吸附量逐渐增加, 但增加较慢。且 Li^+ 的初始浓度越大, 反应刚开始时 LiNiMn-H 对 Li^+ 的交换量增加越快, 最终交换容量也越大。

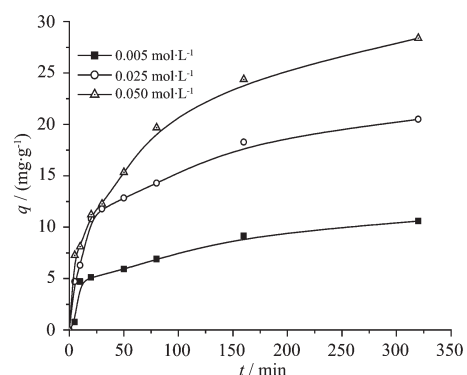


图 4 LiNiMn-H 对 Li^+ 的离子交换动力学曲线

Fig.4 Kinetic curves of Li^+ ion exchange on LiNiMn-H

2.4.2 动力学方程

符合缩核模型^[22,23,25]的离子交换反应的总速率通常由液膜扩散、颗粒扩散和化学反应等步骤中最慢的一步控制, 反应最慢的就是整个反应的控制步骤, 即决定速度步骤。根据缩核模型理论, 在推导数学模型时, 首先假定反应速率只受其中一个步骤的控制, 而分别导出它们各自的数学模型为:

液膜控制(FDC):

$$X = F = \frac{3DC_{A_0}}{C_{S_0}Rb} t \quad (4)$$

颗粒扩散控制(PDC):

$$Y = [3 - 3(1 - F)^{2/3} - 2F] = \frac{6D_e C_{A_0}}{C_{S_0} R^2} t \quad (5)$$

化学反应控制(CRC):

$$Z = [1 - (1 - F^{1/3})] = \frac{k}{R} t \quad (6)$$

其中: F :转化率, $F=q/Q$; Q :饱和交换容量,mmol·g⁻¹; q :交换量,mmol·g⁻¹; D :液膜扩散系数,m²·s⁻¹; D_e :颗粒扩散系数,m²·s⁻¹; C_{A_0} :液相中交换离子主体浓度,mmol·g⁻¹; C_{S_0} :固相中可交换位置的浓度,mmol·g⁻¹。

g^{-1} ; R :交换剂的半径,m; b :液膜厚度,m; t :反应时间,s; k :化学反应速率常数,g·m·mmol⁻¹·s⁻¹。

根据离子交换动力学实验,由公式(4),(5),(6)计算得到交换率 X , Y , Z 与时间 t 的关系,结果见表1。

由表1可以看出,采用液膜扩散控制(FDC)和化学反应控制(CRC)得到的线性相关系数 r^2 均在0.96以下,而颗粒扩散控制(PDC)模型的回归结果,线性相关系数 r^2 在0.99以上,说明该离子交换反应不是液膜扩散控制(FDC),也不是化学反应控制(CRC),而是颗粒扩散控制(PDC)。

表1 Li⁺的离子交换动力学方程

Table 1 Exchange kinetic equations of Li⁺

c(Li ⁺) / (mol·L ⁻¹)	Model	Equation	r^2
0.005	FDC	$X=2.6296 \times 10^{-3} t$	0.6984
	PDC	$Y=3.0820 \times 10^{-3} t$	0.9922
	CRC	$Z=3.1957 \times 10^{-3} t$	0.9338
0.025	FDC	$X=2.4702 \times 10^{-3} t$	0.6830
	PDC	$Y=3.1984 \times 10^{-3} t$	0.9918
	CRC	$Z=3.3035 \times 10^{-3} t$	0.8970
0.050	FDC	$X=2.6266 \times 10^{-3} t$	0.7669
	PDC	$Y=3.0767 \times 10^{-3} t$	0.9982
	CRC	$Z=3.2089 \times 10^{-3} t$	0.9502

由回归方程的斜率和颗粒扩散方程(5),可以计算出颗粒扩散系数 D_e ,Li⁺浓度为0.005 mol·L⁻¹时, $D_e=6.1452 \times 10^{-17}$ m²·s⁻¹;Li⁺浓度为0.025 mol·L⁻¹时, $D_e=6.3773 \times 10^{-17}$ m²·s⁻¹;Li⁺浓度为0.05 mol·L⁻¹时, $D_e=6.1346 \times 10^{-17}$ m²·s⁻¹。

3 结 论

用溶胶-凝胶法合成出尖晶石结构的LiNi_{0.05}Mn_{1.95}O₄,用过硫酸铵改型制得锂离子筛LiNiMn-H,其对Li⁺的饱和交换容量达到5.2 mmol·g⁻¹,对Li⁺有离子记忆性;LiNiMn-H吸附Li⁺的控制步骤是颗粒扩散控制(PDC),建立了25℃时离子筛LiNiMn-H吸附Li⁺的离子交换动力学方程,该离子交换反应的颗粒扩散系数 D_e 在6.1346~6.3773×10⁻¹⁷ m²·s⁻¹之间。

参考文献:

- [1] DU Ke(杜柯), QI Lu(其鲁), HU Guo-Rong(胡国荣), et al. Chinese J. Inorg. Chem. (Wuji Huaxue Xuebao), 2007, 23(1):21~24

- [2] XUE Yun(薛云), CHEN Ye(陈野), ZHANG Mi-Lin(张密林). Chinese J. Inorg. Chem. (Wuji Huaxue Xuebao), 2007, 23(1):109~112
[3] Wang L, Ma W. Solid Stature Ionics, 2006, 177:1421~1428
[4] Wei Y J, Kim K B, Chen G, et al. Electrochimica Acta, 2006, 51:3365~3373
[5] Yoon Y K, Park C W, Ahh H Y, et al. J. Phys. Chem. Solids, 2007, 68:780~784
[6] ZHAO Li-Li(赵丽丽), WANG Rong-Shu(王榕树). Acta Phys.-Chim. Sin. (Wuli Huaxue Xuebao), 2003, 19(10):933~937
[7] ZHAO Li-Li(赵丽丽), WANG Rong-Shu(王榕树). Acta Phys.-Chim. Sin. (Wuli Huaxue Xuebao), 2002, 18(3):197~200
[8] Kim J H, Myung S T, Sun Y K, et al. Electrochim. Acta, 2004, 49:219~227
[9] Wu X L, Kims S B. J. Power Sources, 2002, 109:53~57
[10] DONG Dian-Quan(董殿权), ZHANG Feng-Bao(张凤宝), ZHANG Guo-Liang(张国亮), et al. Chin. J. Appl. Chem. (Yingyong Huaxue), 2005, 22(7):754~758
[11] Lee Y S, Kumada N, Yoshio M, et al. J. Power Sources, 2001, 96:376~384
[12] Jeong I S, Kim J U. J. Power Sources, 2001, 102:55~59
[13] Lee K S, Seung T. Electrochim. Acta, 2007, 52:5201~5206
[14] WANG Feng(王凤), DAI Yong-Nian(戴永年), CUI Meng-

- [Jia(崔萌佳), et al. *Inorg. Chem. Indus.(Wujiyian Gongye)*, **2005**,**37**(1):4~6]
- [15]He B L, Zhou W J. *J. Colloid. Interface Sci.*, **2006**,**300**:633~639
- [16]JI Yong(季 勇), WANG Zhi-Xing(王志兴), YIN Zhou-Lan(尹周澜), et al. *Chinese J. Inorg. Chem. (Wuji Huaxue Xuebao)*, **2007**,**23**(4):597~601
- [17]FAN Wei-Feng(范未峰), QU Mei-Zhen(瞿美臻), PENG Gong-Chang(彭工厂), et al. *Chinese J. Inorg. Chem. (Wuji Huaxue Xuebao)*, **2009**,**25**(1):124~128
- [18]DU Ke(杜 柯), YANG Ya-Nan(杨亚男), HU Guo-Rong(胡国荣), et al. *Chinese J. Inorg. Chem. (Wuji Huaxue Xuebao)*, **2008**,**24**(4):615~620
- [19]ZHANG Jin(张 进), CAO Gao-Shao(曹高劭), ZHAO Xin-Bing(赵新兵), et al. *Chinese J. Inorg. Chem. (Wuji Huaxue Xuebao)*, **2008**,**24**(3):415~421
- [20]Chitrakar R, Kanoh H, Miyai Y, et al. *Ind. Eng. Chem. Res.*, **2001**,**40**(9):2054~2058
- [21]DONG Dian-Quan(董殿权), ZHANG Feng-Bao(张凤宝), ZHANG Guo-Liang(张国亮), et al. *Chinese J. Inorg. Chem. (Wuji Huaxue Xuebao)*, **2004**,**20**(9):1126~1130
- [22]DONG Dian-Quan(董殿权), ZHANG Feng-Bao(张凤宝), ZHANG Guo-Liang(张国亮), et al. *Acta Phys.-Chim. Sin. (Wuli Huaxue Xuebao)*, **2007**,**23**(6):950~954
- [23]DONG Dian-Quan(董殿权). *Thesis for the Doctorate of Tianjin University*(天津大学博士学位论文), **2006**.
- [24]CHEN Meng(陈 猛), YANG Chuang(杨 阖). *Chem. Engineer(Huaxue Gongchengshi)*, **2006**,**125**(2):11~13
- [25]JIANG Zhi-Xing(姜志新), CHEN Jing-Qing(谌竟清), SONG Zhen-Xiao(宋正孝). *Ion Exchange Separation Engineering*(离子交换分离工程). Tianjin: Tianjin University Press, **1992**.77~120